1972, Том 207, № 3

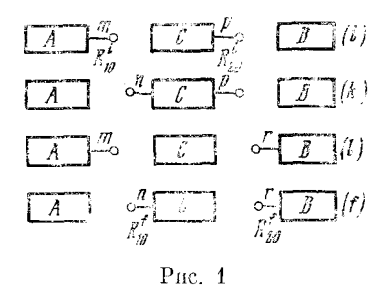
УДК 539.194

## ФИЗИЧЕСКАЯ ХИМИЯ

## Р. Р. ДОГОНАДЗЕ, Е. УЛЬСТРУП (J. ULSTRUP), Ю. И. ХАРКАЦ ТЕОРИЯ КОНЦЕРТНЫХ РЕАКЦИЙ ПРОТОННОГО ПЕРЕНОСА В ПОЛЯРНОЙ СРЕДЕ

(Представлено академиком А. Н. Фрумкиным 3 VII 1972)

В работах (<sup>3</sup>, <sup>2</sup>) была развита теория переноса электрона в полярной среде по внешнесферному мостиковому механизму. В настоящей статье рассматривается процесс переноса протона по мостиковому механизму, который может служить моделью катализа некоторых химических реак-, ций переноса протона в полярной среде и процессов в ферментах (<sup>3</sup>, <sup>4</sup>) \*. Схема реакции показана на рис. 1.



В начальном состоянии (i) системы протон совершает колебания в молекуле реагента  $AH^+$  около некоторого равновесного значения  $R_{10}{}^i$  и второй протон, участвующий в реакции, колеблется около равновесного положения  $R_{20}{}^i$ . При этом поляризация среды совершает тепловые флуктуации около некоторого равновесного положения, соответствующего начальному распределению зарядов в системе. В принятом в настоящей работе одномерном описании поляризации растворителя с помощью обобщенной координаты q поверхность потенциальной энергии растворителя (электрон — протонный терм) при фиксированных квантовых состояниях протонов может быть изображена в виде параболы с вершиной, соответствующей равновесному значению  $q_0$  и равновесной энергии  $I_0$  (рис. 2). В конечном состоянии протон из молекулы  $AH^+$  находится на мостиковой молекуле  $CH^+$  и протон, находившийся ранее на молекуле  $CH^+$ , переходит на молекулу В. (В частности, реагенты  $AH^+$  и В могут принадлежать одной макромолекуле фермента.)

Переход из начального состояния в конечное может происходить по двум параллельным механизмам: «пуш — цул» механизму (k), когда молекула  $CH^+$  сначала присоединяет протон из молекулы  $AH^+$  и затем отдает второй протон молекуле B, и «пул — пуш» механизму (l), при котором мостиковая молекула  $CH^+$  отдает сначала протон молекуле B и затем получает протон от молекулы  $AH^+$ . Два соответствующих промежуточных состояния системы показаны на рис. 1, где квантовые числа m, n, p, r характеризуют возбужденные уровни протонов. Переход протонов из начального состояния в конечное через промежуточное состояние k или l

<sup>\*</sup> Перенос протона по мостиковому механизму в электрохимических процессах обсуждался в (7).

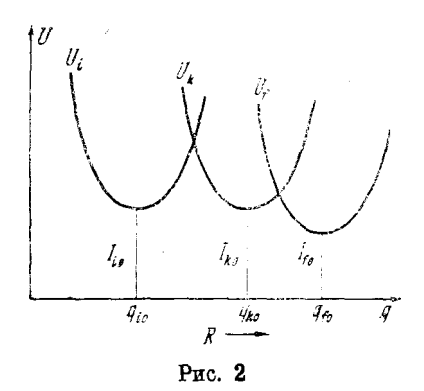
можно рассматривать как виртуальный квантовомеханический переход, вероятность которого в единицу времени описывается формулой квантовомеханической теории возмущепий второго порядка (5)

$$W_{if} = \frac{2\pi}{\hbar} A v_i \sum_{f} \left| \sum_{s} \frac{\langle \psi_f V_{fs} \psi_s \rangle \langle \psi_s V_{si} \psi_i \rangle}{E_i - E_s + i\delta} \right|^2 \delta(E_i - E_f). \tag{1}$$

Здесь  $Av_i$  — усреднение по начальному состоянию системы,  $\delta$  — функция выражает закон сохранения полной энергии,  $\psi_i$ ,  $\psi_f$ ,  $\psi_s$  — волновые функ-

ции начального, конечного и промежуточного (s=k или l) состояний системы,  $V_{fs}$  и  $V_{si}$ — взаимодействия, приводящие к переходу протонов,  $E_i$ ,  $E_f$ ,  $E_s$ — полные энергии соответствующих состояний и  $\delta$ — положительная бесконечно малая величина.

Используя адиабатическое приближение для описания движения протонов, олектронов и флуктуаций растворителя (поскольку характерная частота колебаний протона  $\omega \sim 10^{14}~{\rm cek^{-1}}$  много больше характерной частоты диэлектрической релаксации растворителя  $\omega_0 \sim 10^{11}~{\rm cek^{-1}}$ ), можно представить волновые функции системы



в виде произведения волновых функций электронов, протонов и растворителя  $\binom{6}{}$ 

$$\psi_{i} = \chi_{i}(x) \, \varphi_{m}(R_{1} - R_{10}^{i}) \, \varphi_{p}(R_{2} - R_{20}^{i}) \, \psi_{N_{i}}^{\dagger}(q - q_{i0}), 
\psi_{k} = \chi_{k}(x) \, \varphi_{n}(R_{1} - R_{10}^{f}) \, \varphi_{p}(R_{2} - R_{20}^{i}) \, \psi_{N_{k}}(q - q_{k0}), 
\psi_{l} = \chi_{l}(x) \, \varphi_{m}(R_{1} - R_{10}^{i}) \, \varphi_{r}(R_{2} - R_{20}^{f}) \, \psi_{N_{l}}(q - q_{l0}), 
\psi_{f} = \chi_{f}(x) \, \varphi_{n}(R_{1} - R_{10}^{f}) \, \varphi_{r}(R_{2} - R_{20}) \, \psi_{N_{f}}(q - q_{f0}),$$
(2)

где N — квантовые числа, описывающие состояние растворителя и индексом 0 отмечены равновесные значения координат. Принимая для простоты частоты протонов во всех состояниях одинаковыми, полные энергии начального, конечного и промежуточного состояний можно записать в виде

$$E_{i} = I_{i0} + \hbar \omega_{0} N_{i} + \hbar \omega (m+p),$$

$$E_{k} = I_{k0} + \hbar \omega_{0} N_{k} + \hbar \omega (n+p);$$

$$E_{l} = I_{l0} + \hbar \omega_{0} N_{l} + \hbar \omega (m+r),$$

$$E_{f} = I_{f0} + \hbar \omega_{0} N_{f} + \hbar \omega (n+r),$$
(3)

где  $\omega_0 \ll kT/\hbar$  — характерная частота флуктуаций растворителя,  $\omega \gg kT/\hbar$  — частота протонных колебаний и равновесные энергии  $I_{i0},\ I_{k0},\ I_{l0},\ I_{f0}$  включают энергии нулевых колебаний протонов и растворителя.

Используя формулы (2) и (3), вероятность перехода можно представить в виде (ниже для определенности выписаны формулы для механизма k):

$$W_{ij} = \frac{2\pi}{\hbar} \sum_{N_i, m, p} \sum_{N_f, n, r} \frac{\exp(-\hbar\omega_0 N_i/kT)}{Q_0} \frac{\exp(-\hbar\omega_0 (m+p)/kT)}{Q_1 Q_2} \times \delta(I_{f0} - I_{i0} + \hbar\omega_0 (N_f - N_i) + \hbar\omega_0 (n+r-m-p)) \times \left| \sum_{N_k} \frac{\langle \psi_{N_f} \varphi_r V_{f_k} \psi_{N_k} \varphi_r \rangle \langle \psi_{N_k} \varphi_n V_{ki} \psi_{N_i} \varphi_m \rangle}{I_{i0} - I_{k0} + \hbar\omega_0 (N_i - N_k) + \hbar\omega_0 (m-n) + i\delta} \right|^2,$$
(4)

где  $Q_0$  — статистическая сумма по состояниям растворителя, и статистические суммы по состояниям протона  $Q_1Q_2\approx 1$ .

Используя для вычисления матричных элементов, входящих в (4), Франк — Кондоновское приближение, можно разделить усреднение и суммирование по возбужденным протопным состояниям системы и расчет вероятности перехода при фиксированных состояниях протонной подсистемы, который эквивалентей расчету вероятности мостикового переноса электрона ( $^{4}$ ,  $^{2}$ ). Тогда вероятность перехода  $W_{it}$  можот быть представлена в виде:

$$W_{ij} = \sum_{m, p, a, r} \exp\left(-h\omega (m+p)/kT\right) (\varphi_r, V_{/k} \varphi_r)^2 (\varphi_a, V_{ki} \varphi_m)^2 W_{n, r}^{m, p},$$
 (5)

где  $W_{n,\gamma}^{m,n}$  — вероятность нерехода при фиксированных квантовых состояниях протонов определяется выражением

$$W_{n,r}^{m,p} = K \exp\left\{-E_a^{m,p,n,r}/kT\right\}.$$

$$E_a^{m,p,n,r} = \max \begin{cases} E_s^{ki} + I_{k0} - I_{iv} + \hbar\omega (n-m)]^2 \\ \frac{4E_s^{ki}}{4E_s^{ki}} \end{cases}$$

$$(6)$$

$$E^{tk} = \frac{[E_s^{tk} + I_{f0} - I_{k0} + \hbar\omega (r-p)]^2}{4E_s^{tk}} + I_{k0} - I_{i0} + \hbar\omega (n-m).$$

Здесь К — константа, определяемая взаимным расположением термов системы. Энергия активации, входящая в (6), имеет простой геометрический смысл. Если построить электрон-протопные термы системы (поверхности потенциальной эпергии растворителя) для заданных квантовых состояний протопа (ем., папример, рис. 2, где ноказаны для простоты термы (i), (k) и (f) при m=n=p=r=0), то энергия активации  $E_a$  может быть найдена как расстояние от минимума на начальном терме, до наивысшей из двух точек нересечения начального терма с промежуточным и промежуточного терма с конечным. Параметры  $E_s^{ki}$  и  $E_s^{fk}$ , называемые эпергиями реорганизации растворителя, определяются взаимным располежением термов. Термы возбужденных состояний системы могут быть получены из термов, соответствующих основным состояниям протонов добавлением к  $I_{i0},~I_{h0},~I_{h0}$  значений энергий возбуждения  $\hbar\omega(m+p)$ .  $\hbar \, \omega \, (n+p), \, \hbar \, \omega \, (n+r), \,$  что приводит к вертикальному сдвигу термов, по-казанных на рис. 2. При этом необходимо учитывать, что при некоторых значениях (m, p, n, r) выше расположены точки пересечения термов (i)и (k), а при других эпачениях (m, p, n, r) выше расположены точки пересечения термов (k) и (f), поэтому разным наборам квантовых чисел соответствуют разные выражения для парциальных энергий активации (6).

Для анализа вкладов различных квантовых состояний протопов в вероятность перехода удобно воснользоваться результатами работы ( $^6$ ), где приводится расчет квантовомеханической теории реакции переноса протона в полярной среде. Входящие в ( $^6$ ) протонные матричные элементы совпадают с точностью до множителей, независимых от квантовых чисел, с трансмиссконными коэффициентами  $\varkappa_{rp}$  и  $\varkappa_{nm}$  неадиабатического переноса протонов ( $^6$ ). Для вычисления сумм в ( $^6$ ) существенным является взаимное расположение термов при m=n=p=r=0. Если точка пересечения термов ( $^6$ ) и ( $^6$ ) выше, чем точка пересечения термов ( $^6$ ) и ( $^6$ ), как это показано на рис.  $^6$ 2, то, как нетрудно видеть, множитель ехр { $^6$ 1 ( $^6$ 2 и не зависит от  $^6$ 3 имеет максимальное значение при  $^6$ 4 и  $^6$ 5 и  $^6$ 6 и не зависит от  $^6$ 7 в работе ( $^6$ 9 анализировались суммы типа  $^6$ 8 гим ехр { $^6$ 9 ( $^6$ 9 и было показано, что при нормальном от-

носительном расположении термов (i) и(k), конкуренция возрастающего с ростом m и n множителя  $\varkappa_{nm}$  и быстро убывающего множителя  $\exp\{-\left(\hbar\omega\,m + E^{ki}\right)/kT\}$  приводит к тому, что главный вклад в сумму

дают члены с m=0. Рассматривая члены ряда (5) при фиксированном r, можно заметить, что главный вклад в сумму дают члены с m=n=p=0. В то же время, в сумме по r нет экспоненциального убывающего множителя вплоть до значения  $r^*$ , при котором сравниваются  $E^m$  и  $E^{th}$ , а  $\varkappa_{r, p=0}$  возрастает с ростом r. При  $r > r^*$  вклад от возбужденных состояний по r мал из-за быстрого роста  $E^{th}$ . Таким образом, главный вклад в вероятность перехода для случая расположения термов, показанного на рис. 2, дают переходы с m=n=p=0 и  $r=r^*$ ; поскольку  $r^*$  — целое число, им могут быть одно или два целых числа, наиболее близких к  $r^*$ , определяемому из уравнения

$$\frac{(E_s^{hi} + I_{k_0} - I_{i0})^2}{4E_s^{hi}} = \frac{(E_s^{fk} + I_{f0} - I_{k0} + \hbar\omega r^*)^2}{4E_s^{fk}} + I_{k0} - I_{i0}.$$
 (7)

В случае, когда точка пересечения термов (k) и (j) выше точки пересечения термов (i) и (k), апалогичный апализ показывает, что основной вклад в вероятность перехода дают состояния p=r=n=0 и  $m=m^*$ , где

$$\frac{(E_s^{ki} + I_{k0} - I_{i_0} - \hbar \omega m^s)^2}{4E_s^{ki}} = \frac{(E_s^{fk} + I_{f0} - I_{k_0})^2}{4E_s^{fk}} - I_{k0} - I_{i_0}.$$
(8)

Для двух рассмотренных выше случаев взаимного расположения термов вероятность нерехода может быть вредставлена в виде:

$$W_{ij} \sim \begin{cases} \varkappa_{r^*, 0}^{fk} \varkappa_{0, 0}^{ki} \exp\left\{-\frac{(E_s^{ki} + I_{k0} - I_{i0})^2}{4E_s^{ki}kT}\right\} :\\ \varkappa_{m^*, 0}^{ki} \varkappa_{0, 0}^{fk} \exp\left\{-\frac{(E_s^{fk} + I_{f0} - I_{k0})^2}{4E_s^{fk}kT} - \frac{I_{10} - I_{k0}}{kT}\right\}. \end{cases}$$
(9)

Таким образом, перенос протона по «пуш — пул»- пли по «пул — пуш»- механизмом, в отличне от прямого переноса протона, идет с участием возбужденных начального или конечного состояний протонной подсистемы.

Институт электрохимии Академии паук СССР Москва Поступило 20 VI 1972

Техпический университет Дании Копептатен

## ПИТИРОВАННАЯ ЛИТЕРАТУРА

<sup>1</sup> М. В. Волькенштейн, Р. Р. Догонадзе и др., ДАН, 199, 124 (1971).
<sup>2</sup> В. Г. Левич, А. К. Мадумаров, Ю. И. Харкац, ДАН, 203, 135 (1972).
<sup>3</sup> R. Р. Веll, The Proton in Chemistry, N. Y., 1959.
<sup>4</sup> С. Бернхард, Структура и функция ферментов, М., 1971.
<sup>5</sup> Л. Д. Ландау, Е. М. Лившиц, Квантовая механика, М., 1963.
<sup>6</sup> В. Г. Левич, Р. Р. Догонадзе и др., Electrochim. acta, 15, 353 (1970).
<sup>7</sup> H. W. Nürnberg, Fortschritte der chemischen Forschung, 8, H. 2, Schriftleitung: F. Boschke, Berlin — Heidelberg — N. Y., 1967, S. 241.